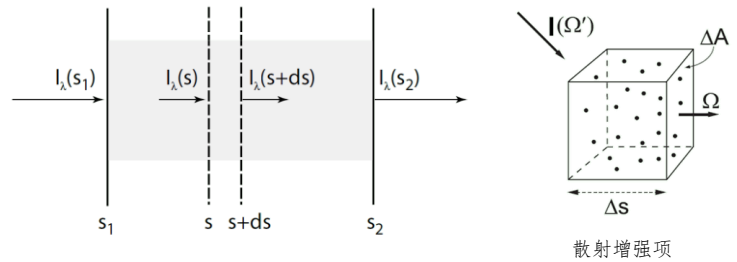


# 第九章 基于散射的辐射传输方程

## 9.1 辐射传输方程



### 9.1.1 基于散射的辐射传输方程

#### 9.1.1.1 完整微分形式的辐射传输方程

**模型构建** 对于包含散射的情况，经过微元路径 $ds$ 的辐射净改变

- ① 由吸收和散射共同引起的**直射辐射衰减**  $dI_{\text{ext}} = -(\beta_a + \beta_s)I ds = -\beta_e \text{体积消光系数} I ds$
- ② 在局地热平衡条件下，由**发射**引起的**辐射增强**  $dI_{\text{emit}} = \beta_a B ds$  太阳短波可不考虑发射
- ③ 由**多次散射**引起的**辐射增强**：一个微小立体角 $d\omega'$ 中的辐射能量： $I(\Omega')d\omega'$ ，其经过散射之后总的散射辐射为  $\beta_s ds \text{总散射截面} \cdot I(\Omega')d\omega'$ ，该辐射方向为四面八方，再乘上往 $\Omega$ 方向的概率密度可得：

$$dI_{\text{scat}} = \frac{\beta_s}{4\pi} \int_{4\pi} p(\hat{\Omega}', \hat{\Omega}) I(\hat{\Omega}') d\omega' ds$$

其中**散射相函数** $p(\hat{\Omega}', \hat{\Omega})$ 有归一化条件： $\frac{1}{4\pi} \int_{4\pi} p(\hat{\Omega}', \hat{\Omega}) d\omega' = 1$  **散射概率密度函数**为： $\frac{p(\hat{\Omega}', \hat{\Omega})}{4\pi}$

**微分表达式** 经过微元路径 $ds$ 的净辐射微分表达式  $dI = dI_{\text{ext}} + dI_{\text{emit}} + dI_{\text{scat}}$

**完整方程**  $dI = -\beta_e I ds + \beta_a B ds + \frac{\beta_s}{4\pi} \int_{4\pi} p(\hat{\Omega}', \hat{\Omega}) I(\hat{\Omega}') d\omega' ds$

#### 9.1.1.2 完整通用形式的辐射传输方程

**光学厚度** 定义光学厚度： $d\tau = -\beta_e ds$  前面的负号表明 $s$ 数值越大，光学厚度越小

**通用形式** 两边同时除上 $d\tau$ ，得到总的辐射源是热发射和来自其他方向散射的加权之和，**单次散射反照率控制着各自权重**。如果 $\tilde{\omega} = 0$ ，散射项消失；如果 $\tilde{\omega} = 1$ ，则热发射成分消失。

$$\frac{dI(\hat{\Omega})}{d\tau} = I(\hat{\Omega}) - (1 - \tilde{\omega})B - \frac{\tilde{\omega}}{4\pi} \int_{4\pi} p(\hat{\Omega}', \hat{\Omega}) I(\hat{\Omega}') d\omega'$$

**有趣性质** 散射占比增大，则吸收占比减小，也就意味着发射减小，两者是此消彼长的关系。

#### 9.1.1.3 相应简写形式的辐射传输方程

**简化形式**  $\frac{dI(\hat{\Omega})}{d\tau} = I(\hat{\Omega}) - J(\hat{\Omega})$  其中**源函数**为  $J(\hat{\Omega}) = (1 - \tilde{\omega})B + \frac{\tilde{\omega}}{4\pi} \int_{4\pi} p(\hat{\Omega}', \hat{\Omega}) I(\hat{\Omega}') d\omega'$

**性质**  $dI = I d\tau - J ds = -\beta_e I ds + \beta_e J ds$  发现消光截面越大，源贡献的辐射增强也越大。

### 9.1.2 平面平行大气辐射传输方程

**平行假设** 为什么大多数辐射传输解析和近似解都基于平面平行大气假设？

- ① 平面平行几何确实是**唯一**适合直接分析和/或数值求解的半真实情况（例如气候和天气预报模式）。
- ② 确实存在一些问题（例如无云晴空大气、大范围水平均匀的层状云盖）平面平行假设作为一种真实的近似显得**非常合理**。
- ③ 甚至在一些不合理的情况中，科学家们对最优的三维非均质处理方式都存在明显迟疑，特别是当计算效率非常重要时。

**传输方程**  $\mu \frac{dI(\tau, \mu, \phi)}{d\tau} = I(\tau, \mu, \phi) - J(\tau, \mu, \phi)$

- ① 使用**天顶角** $\theta$ +**方位角** $\phi$ 表示 $\hat{\Omega}$ ， $\mu = \cos \theta$ ， $d\omega = \sin \theta d\theta d\phi = d\cos \theta d\phi$

则其中源函数为  $J(\tau, \mu, \phi) = (1 - \tilde{\omega})B + \frac{\tilde{\omega}}{4\pi} \int_0^{2\pi} \int_{-1}^1 p(\mu, \phi, \mu', \phi') I(\mu', \phi') d\mu' d\phi'$

② 使用 $\tau$ 代替位置 $\vec{r}$ ：因为平面平行大气与 $x, y$ 分量无关，同时 $z \rightarrow \tau(z)$ 逐个对应， $\tau = \int_z^\infty \beta_e(z) dz$ 。

③ 光学厚度的转化：上文定义的光学厚度为 $d\tau(s) = -\beta_e ds$ ，此处为 $d\tau(z) = -\beta_e dz$ ，又有 $ds = \frac{dz}{\cos \theta}$

则有 $d\tau(s) = \frac{d\tau(z)}{\cos \theta} = \frac{d\tau(z)}{\mu}$ ，将其全部代回原式，则左边变为 $\mu \frac{dI}{d\tau}$ 。

**输入条件** 光学厚度(散射系数、吸收系数、 $\tilde{\omega}$ )、相函数( $\mu, \phi$ )、发射 $B$ (温度、波长)、太阳辐射强度、观测位置

## 9.2 散射相函数

### 9.2.1 散射相函数

#### 9.2.1.1 基本概念与方程

**概率密度** 散射相函数可以理解为**概率密度**：设光子从方向 $\hat{\Omega}'$ 出发并发生散射，那么光子方向位于中心方向 $\hat{\Omega}$ 的立体角微元 $d\omega$ 内的**概率**为 $\frac{1}{4\pi} p(\hat{\Omega}', \hat{\Omega}) d\omega$ 。散射相函数对 $\hat{\Omega}', \hat{\Omega}$ 的依赖关系可以非常复杂(四维函数：总格点至少 $(180 \times 360)^2$ )，这与负责散射的**粒子尺度和形状**有关。

**球形情况** 如果悬浮在大气中的粒子是**球形或者随机取向**，那么**散射相函数只与初始方向 $\hat{\Omega}$ 和散射方向 $\hat{\Omega}'$ 的夹角(散射角) $\Theta$ 有关**(一维函数)。因此完整描述 $p$ 的方向独立变量 $\hat{\Omega}', \hat{\Omega}$ 减至唯一的 $\cos \Theta = \hat{\Omega}' \cdot \hat{\Omega}$

**归一化条件** 引入坐标系，其 $z$ 轴指向入射方向，有 $d\omega' = \sin \Theta d\Theta d\phi$

散射相函数的归一化条件简化为 $\frac{1}{4\pi} \int_0^{2\pi} \int_0^\pi p(\cos \Theta) \sin \Theta d\Theta d\phi = 1 \Rightarrow \boxed{\frac{1}{2} \int_{-1}^1 p(\cos \Theta) d \cos \Theta = 1}$

#### 9.2.1.2 各向同性散射

**各向同性** 一个光子经过散射后在**所有方向 $\hat{\Omega}$ 上出现的概率都相同**，即**散射相函数等于常数**的情况：  
 $p(\cos \Theta) = 1$  (满足归一化条件) 因此，光子新的传输方向无法从散射之前的传输方向进行预测，换句话说，光子“忘记”了它过去的一切。

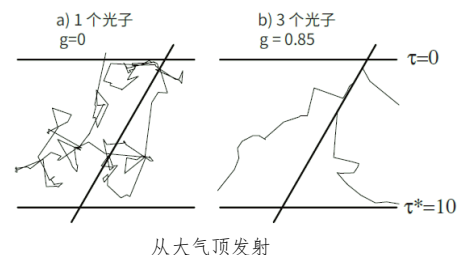
## 9.2.2 非对称因子

#### 9.2.2.1 基本情况

**非对称因子** 大量散射光子的 $\cos \Theta$ 平均值，即 $g \equiv \frac{1}{4\pi} \int_{4\pi} p(\cos \Theta) \cos \Theta d\omega$

$\frac{p(\cos \Theta)}{4\pi} d\omega_{\text{概率}} \times \cos \theta_{\text{该方向}}$  由此可知， $-1 \leq g \leq 1$

- 情况讨论**
- ①  $g > 0$ ：光子倾向于散射至前半球，即**前向散射**占主导【除瑞利散射外大部分粒子】。
  - ②  $g < 0$ ：光子倾向于散射至后半球，即**后向散射**占主导。
  - ③  $g = 1$ ：光子散射至与其初始传输方向**完全相同**的方向 ( $\Theta = 0^\circ$ )。
  - ④  $g = -1$ ：光子散射至与其初始传输方向**完全相反**的方向 ( $\Theta = 180^\circ$ )。
  - ⑤  $g = 0$ ：光子散射至前后半球的概率相等，如**各向同性散射【瑞利散射】**。



从大气顶发射

#### 9.2.2.2 Henyey-Greenstein 相函数

**数学形式**  $p_{\text{HG}}(\cos \Theta) = \frac{1-g^2}{(1+g^2-2g \cos \Theta)^{3/2}}$

**物理图像** 其并非针对特定粒子的相函数，其是一个经验性的拟合相函数。右图为对数标度的概率图。

